

# Использование графовых нейронных сетей для анализа динамических экономических систем

Васильев Максим

Москва, 2025

# План презентации

- 1 Введение
- 2 Основные понятия
- 3 Классификация статических GNN
- 4 Динамические графы
- 5 Применение в экономике
- 6 Заключение
- 7 Литература

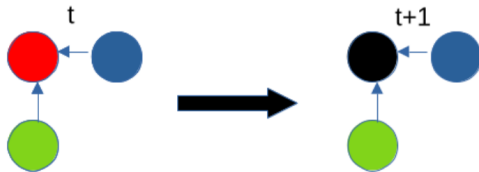
# Актуальность

- Современные экономические системы обладают сложной динамической структурой.
- Традиционные (линейные) методы анализа и не учитывают сетевую природу взаимодействий и плохо работают с нелинейными зависимостями.
- Графовые нейронные сети позволяют моделировать связи между экономическими агентами и отслеживать их эволюцию во времени.

# Графовые нейронные сети

## Определение

Графовая нейронная сеть (GNN) — это модель, извлекающая признаки из данных, представленных в виде графа.



# Графовые нейронные сети

Общее правило обновления признаков узла:

$$h_{t+1}(v) = \tau_t(h_t(v), \text{AGGR}_t(\{h_t(u) : u \in \mathcal{N}(v)\}))$$

- $h_t(v)$  — вектор признаков узла  $v$  на слое  $t$ .
- $\mathcal{N}(v)$  — множество соседей узла  $v$ , т.е. всех узлов, связанных с ним ребром.
- $\text{AGGR}_t(\cdot)$  — агрегирующая функция, объединяющая информацию от соседей:
- $\tau_t(\cdot)$  — функция обновления признаков узла:
- $h_{t+1}(v)$  — новое представление узла, использующее информацию как самого узла, так и его соседей.

# Графовые сверточные нейронные сети (GCN)

## Основная идея

Графовая сверточная сеть обобщает идею обычной свёртки на структуру графа. Каждая вершина обновляет своё представление, усредняя признаки своих соседей.

$$H_{l+1} = \sigma(D^{-1/2} A D^{-1/2} H_l W_l), \quad (1)$$

где

- $H_l \in \mathbb{R}^{n \times d_l}$  — матрица признаков на слое  $l$ ,  $n$  — число узлов,  $d_l$  — размерность признаков;
- $\sigma(\cdot)$  — функция активации (например, ReLU), действует поэлементно:  $\sigma : \mathbb{R} \rightarrow \mathbb{R}$ ;
- $D = \text{diag}(d_1, \dots, d_n)$  — диагональная матрица степеней вершин,  $d_i = \sum_j A_{ij}$ ;
- $A \in \mathbb{R}^{n \times n}$  — матрица смежности с петлями, элементы  $A_{ij} \in \{0, 1\}$ ;
- $W_l \in \mathbb{R}^{d_l \times d_{l+1}}$  — матрица весов слоя, действительные значения.

## Сложность добавления нового ребра в GCN

При появлении нового ребра изменяется нормализованная матрица  $\hat{A} \in \mathbb{R}^{N \times N}$ , поэтому необходимо пересчитать всю операцию:

$$H^{(l+1)} = \sigma(\hat{A}H^{(l)}W^{(l)}).$$

**Размеры матриц:**

$$\hat{A} \in \mathbb{R}^{N \times N}, \quad H^{(l)} \in \mathbb{R}^{N \times d}, \quad W^{(l)} \in \mathbb{R}^{d \times d}.$$

1. Пересчёт  $\hat{A}H$ :  $O(N^2d)$
2. Пересчёт  $(\hat{A}H)W$ :  $O(Nd^2)$

**Итоговая сложность пересчёта всего слоя:**

$$O(N^2d + Nd^2)$$

# Графовые сети внимания (GAT)

## Основная идея

Каждая вершина обновляет своё представление, взвешивая вклад соседей через механизм внимания.

$$h'_i = \sum_{j \in \mathcal{N}(i)} \alpha_{ij} Wh_j, \quad e_{ij} = a^\top [Wh_i \parallel Wh_j], \quad \alpha_{ij} = \text{softmax}_j(e_{ij})$$

- $h_i \in \mathbb{R}^d$  — вектор признаков вершины  $i$ ;
- $W \in \mathbb{R}^{d \times d'}$  — матрица линейного преобразования;
- $a \in \mathbb{R}^{2d'}$  — вектор параметров механизма внимания;
- $e_{ij} \in \mathbb{R}$  — ненормализованная важность соседа  $j$ ;
- $\alpha_{ij} \in \mathbb{R}$ , — нормализованное внимание;
- $\mathcal{N}(i)$  — множество соседей вершины  $i$ .

## Сложность добавления нового ребра в GAT

При появлении нового ребра  $(u, v)$  в GAT с  $d$  - размер  $h$  и  $k$  - кол-во соседей, необходимо пересчитать:

1. **Линейное преобразование признаков:**

$$O(d^2)$$

2. **Вычисление коэффициентов внимания:**

$$e_{uv} = a^\top [Wh_u \| Wh_v] \Rightarrow O(d) \text{ на одно ребро}$$

3. **Нормализация softmax по соседям:**

$$O(k)$$

4. **Обновление эмбеддинга узла:**

$$O(kd)$$

Итоговая сложность добавления одного ребра:  $O(d^2 + kd)$

# Граф, признаки и Attention-score

Граф:

$$1 - 2 - 3, \quad \hat{A} = \begin{bmatrix} 1 & 1 & 0 \\ 1 & 1 & 1 \\ 0 & 1 & 1 \end{bmatrix}, \quad X = \begin{bmatrix} 1 & 0 \\ 0 & 1 \\ 1 & 1 \end{bmatrix}, \quad W = \begin{bmatrix} 1 & 2 \\ 3 & 4 \end{bmatrix}, \quad a = [1, 1, 1, 1]$$

После линейного преобразования:

$$h_1 = [1, 2], \quad h_2 = [3, 4], \quad h_3 = [4, 6]$$

Полученные веса ребер:

$$\begin{aligned} e_{11} &= 6, \quad e_{12} = 10 \\ e_{21} &= 10, \quad e_{22} = 14, \quad e_{23} = 17 \\ e_{32} &= 17, \quad e_{33} = 20 \end{aligned}$$

## Веса внимания и итоговое обновление узлов

Softmax по соседям:

$$\alpha_{11} = 0.018, \alpha_{12} = 0.982$$

$$\alpha_{21} = 0.002, \alpha_{22} = 0.121, \alpha_{23} = 0.877$$

$$\alpha_{32} = 0.047, \alpha_{33} = 0.953$$

Обновление:

$$h'_i = \sum_{j \in N(i)} \alpha_{ij} h_j$$

Результаты:

$$h'_1 = [2.964, 3.964]$$

$$h'_2 = [3.873, 5.750]$$

$$h'_3 = [3.953, 5.906]$$

GAT обучаемо выбирает, на кого смотреть сильнее.

# GraphSAGE (SAmple and aggreGatE)

## Основная идея

GraphSAGE обучает генеративную функцию, агрегируя информацию из локального окружения с помощью обучаемой агрегирующей функции.

$$h_v^{(k)} = \sigma \left( W^{(k)} \cdot \left( h_v^{(k-1)} \parallel \text{AGGREGATE}^{(k)} \left( \{ h_u^{(k-1)} : u \in \mathcal{N}(v) \} \right) \right) \right) \quad (2)$$

- $h_v^{(k)} \in \mathbb{R}^{d_k}$  — представление вершины  $v$  на слое  $k$ ;
- $\mathcal{N}(v)$  — множество соседей вершины  $v$ ;
- $\text{AGGREGATE}^{(k)} : \mathbb{R}^{|\mathcal{N}(v)| \times d_{k-1}} \rightarrow \mathbb{R}^{d_{k-1}}$  (mean, max, LSTM);
- $W^{(k)} \in \mathbb{R}^{(2d_{k-1}) \times d_k}$  — матрица весов слоя;
- $\sigma : \mathbb{R} \rightarrow \mathbb{R}$  — нелинейная активация.

## Сложность добавления одного ребра в GraphSAGE

При появлении нового ребра  $(u, v)$  с размером эмбединга узла -  $d$  и сколичеством соседей -  $k$  требуется обновить представления узлов через:

### 1. Стоимость агрегации соседей:

$$O(kd) \text{ (Mean Aggregator)}, \quad O(kd^2) \text{ (LSTM / Pooling Aggregator)}$$

### 2. Стоимость обновления представления узла:

$$O(d^2)$$

Итоговая сложность добавления одного ребра (обновление узлов  $u$  и  $v$ ):

$$O(kd + d^2) \text{ (Mean)}, \quad O(kd^2) \text{ (LSTM / Pooling)}$$

# Граф и признаки узлов

Граф:

1 – 2 – 3

Матрица смежности:

$$A = \begin{bmatrix} 0 & 1 & 0 \\ 1 & 0 & 1 \\ 0 & 1 & 0 \end{bmatrix}$$

Признаки узлов:

$$X = \begin{bmatrix} 1 & 0 \\ 0 & 1 \\ 1 & 1 \end{bmatrix}$$

Используем **mean-aggregator**.

# Агрегация соседей и конкатенация

Соседи:

$$N(1) = \{2\}, \quad N(2) = \{1, 3\}, \quad N(3) = \{2\}$$

Агрегация:

$$\text{AGGREGATE}(1) = [0, 1], \quad \text{AGGREGATE}(2) = [1, 0.5], \quad \text{AGGREGATE}(3) = [0, 1]$$

Конкатенация:

$$h_1^{cat} = [1, 0, 0, 1]$$

$$h_2^{cat} = [0, 1, 1, 0.5]$$

$$h_3^{cat} = [1, 1, 0, 1]$$

Весовая матрица:

$$W = \begin{bmatrix} 1 & 0 \\ 0 & 1 \\ 1 & 1 \\ 2 & 1 \end{bmatrix}$$

# Обновление узлов и итоговые эмбеддинги

Обновление:

$$h'_i = \sigma(Wh_i^{cat})$$

Вычисления:

$$h'_1 = \text{ReLU}([3, 1])$$

$$h'_2 = \text{ReLU}([2, 2.5])$$

$$h'_3 = \text{ReLU}([3, 2])$$

Итоговые представления узлов:

$$h'_1 = [3, 1], \quad h'_2 = [2, 2.5], \quad h'_3 = [3, 2]$$

**GraphSAGE: обучаемая агрегация + конкатенация признаков.**

# Temporal Graph Networks (TGN)

- TGN — Graph Neural Network для динамических графов.
- Граф изменяется во времени, события приходят последовательно:

$$\mathcal{E} = \{(u, v, t, x_{uv}(t))\}$$

где  $u, v$  — узлы,  $t$  — время события,  $x_{uv}(t)$  — признаки ребра.

- TGN позволяет:
  - Обрабатывать потоки событий
  - Динамически обновлять состояния узлов
  - Получать эмбеддинги для предсказания будущих событий

# Основные модули TGN

- 1 **Memory (Память узлов)**: хранит текущее состояние узла  $m_v(t)$ , отражающее историю взаимодействий.
- 2 **Message Function**: формирует сообщение для события на основе текущих состояний узлов и признаков ребра:

$$\text{msg}_{uv}(t) = f(m_u(t^-), m_v(t^-), x_{uv}(t))$$

- 3 **Memory Updater**: обновляет память узлов после каждого события, часто используется GRU или LSTM:

$$m_v(t) = \text{GRU}(m_v(t^-), \text{msg}_{uv}(t))$$

- 4 **Embedding Module**: генерирует эмбеддинги узлов на текущий момент времени:

$$z_v(t) = \text{AGGREGATE}(m_v(t), \{m_u(t) | u \in N(v, t)\})$$

## Memory (Память узлов)

- Каждому узлу  $v$  соответствует вектор состояния  $m_v(t)$
- Начальное состояние:  $m_v(0) = 0$  или случайное
- После события память обновляется с помощью Memory Updater
- Смысл: сохраняет историю узла и отражает актуальное состояние

# Message Function и Memory Updater

- **Message Function:**

- Формирует сообщение для каждого события
- Пример: *u* лайкнул *v*:

$$\text{msg}_{uv}(t) = \text{MLP}([m_u, m_v, x_{uv}])$$

- **Memory Updater:**

- Принимает старое состояние и сообщение
- GRU/LSTM обновляет память:

$$m_v(t) = \text{GRU}(m_v(t^-), \text{msg}_{uv}(t))$$

# Embedding Module и поток работы TGN

- **Embedding Module:**

$$z_v(t) = \text{AGGREGATE}(m_v(t), \{m_u(t) | u \in N(v, t)\})$$

- Агрегатор может быть: mean, max, attention
- Поток работы:

- ➊ Событие:  $(u, v, t)$
- ➋ Message Function формирует msg
- ➌ Memory Updater обновляет память узлов  $u$  и  $v$
- ➍ Embedding Module генерирует эмбеддинги  $z_u(t), z_v(t)$

**TGN — эффективная модель для динамических графов с потоками событий.**

# Обработка нового события в TGN

При появлении нового сообщения (события)  $(u, v, t, x_{uv})$  TGN выполняет:

- ① **Message Function**: формирует сообщение  $\text{msg}_{uv}(t)$
- ② **Memory Updater**: обновляет память узлов  $u$  и  $v$
- ③ **Embedding Module**: обновляет эмбеддинги узлов с учетом соседей
- ④ **Опциональная агрегация**: если используется attention или pooling по соседям

# Сложность по шагам

Обозначения:

- $d$  — размер эмбеддинга узла
- $k$  — среднее количество соседей
- $C_{\text{msg}} \sim O(d^2)$  — формирование сообщения (MLP)
- $C_{\text{update}} \sim O(d^2)$  — обновление памяти (GRU/LSTM)
- $C_{\text{agg}} \sim O(kd)$  — агрегация соседей

Шаги:

Message Function:  $O(d^2)$

Memory Updater (2 узла):  $O(d^2)$

Embedding Module с соседями:  $O(kd)$

## Итоговая сложность

Суммарная сложность одного события:

$$O_{\text{event}} = O(d^2 + kd)$$

- При больших эмбеддингах  $d \gg k$  доминирует  $O(d^2)$
- При очень высокой степени узлов  $k \gg d$  доминирует  $O(kd)$
- Для батчей из  $B$  событий:

$$O_{\text{batch}} = O(B(d^2 + kd))$$

- TGN эффективен, так как обновляются только локальные узлы, а не весь граф

## Исходные данные

Граф: 1 – 2 – 3

Событие: узел 1 взаимодействует с узлом 2 в момент  $t = 1$

**Память узлов (Memory):**

$$m_1(0) = [0, 0], \quad m_2(0) = [0, 0], \quad m_3(0) = [0, 0]$$

**Признаки ребра:**

$$x_{12} = [1, 0]$$

**Time Encoding:**

$$\phi(1) = [\sin(1), \cos(1)] \approx [0.841, 0.540]$$

**Message Function:** обучаемая матрица  $W_{\text{msg}}$ :

$$W_{\text{msg}} = \begin{bmatrix} 1 & 0 & 0 & 0 & 1 & 0 & 1 & 0 \\ 0 & 1 & 0 & 0 & 0 & 1 & 0 & 1 \end{bmatrix}$$

# Формирование сообщения и обновление памяти

**Сообщение (Message Function):**

$$[m_1 \| m_2 \| x_{12} \| \phi(1)] = [0, 0, 0, 0, 1, 0, 0.841, 0.540]$$

$$\text{msg}_{12} = W_{\text{msg}} \cdot [\dots]^{\top} = [1.841, 0.540]$$

**Обновление памяти (Memory Updater):**

$$m_1(1) = \text{ReLU}(m_1(0) + \text{msg}_{12}) = [1.841, 0.540]$$

$$m_2(1) = \text{ReLU}(m_2(0) + \text{msg}_{12}) = [1.841, 0.540]$$

$$m_3(1) = m_3(0) = [0, 0]$$

# Агрегация соседей (Embedding Module) и итог

Mean aggregator:

$$z_v(t) = \text{mean}(m_v(t), \{m_u(t) | u \in N(v)\})$$

Эмбеддинги узлов после события:

$$z_1(1) = \text{mean}([1.841, 0.540], [1.841, 0.540]) = [1.841, 0.540]$$

$$z_2(1) = \text{mean}([1.841, 0.540], [1.841, 0.540], [0, 0]) \approx [1.227, 0.360]$$

$$z_3(1) = \text{mean}([0, 0], [1.841, 0.540]) = [0.920, 0.270]$$

Итог: Эмбеддинги учитывают память узлов, сообщения и время события.

## Сравнение GCN, GAT, GraphSAGE и TGN

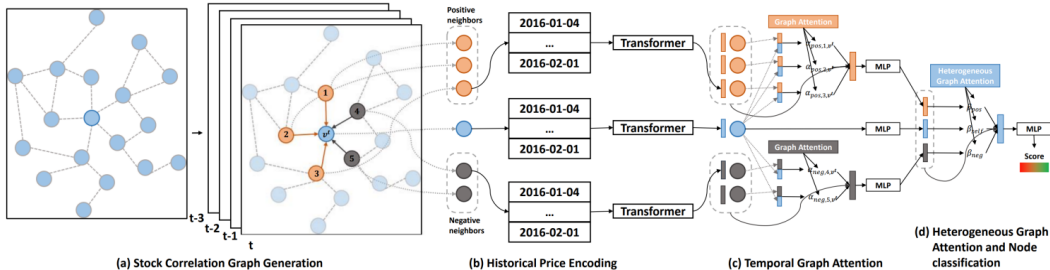
| Модель    | Тип графа                 | Учёт времени | Сложность        |
|-----------|---------------------------|--------------|------------------|
| GCN       | Статический               | Нет          | $O(N^2d + Nd^2)$ |
| GAT       | Статический               | Нет          | $O(d^2 + kd)$    |
| GraphSAGE | Статический / индуктивный | Нет          | $O(kd^2)$        |
| TGN       | Динамический              | Да           | $O(d^2 + kd)$    |

**TGN** единственный учитывает время, память и поток событий.

# Применение: THGNN для финансовых временных рядов

## Модель и цель

Авторы предлагают модель THGNN для прогнозирования движений цен акций, учитывая и динамику временных рядов, и гетерогенные отношения между компаниями.



# Архитектура THGNN

## Гибридная структура

- **Temporal Transformer** – извлечение долгосрочных зависимостей временных рядов
- **Heterogeneous GAT** – учитывает разные типы экономических связей:
  - Отраслевые
  - Корреляционные
  - Капитализационные группы
- **Multi-head attention** – выделяет ключевые связи между компаниями

Такой подход позволяет учитывать как временную зависимость с помощью трансформеров, так и структурную с помощью гетерогенных GAT

# Данные и признаки

## Источники данных

- Дневные котировки компаний из **SP500** и **CSI300** (2016–2021)
- Граф: статический на весь период обучения

## Признаки

- OHLC (Open, High, Low, Close)
- Объемы торгов
- Волатильность
- Рыночные факторы

## Цель модели

Классификация направления движения цены на следующий день

## Результаты

|             | S&P 500      |              |              |               |              |              |              | CSI 300      |              |              |               |              |              |              |
|-------------|--------------|--------------|--------------|---------------|--------------|--------------|--------------|--------------|--------------|--------------|---------------|--------------|--------------|--------------|
|             | ACC          | ARR          | AV           | MDD           | ASR          | CR           | IR           | ACC          | ARR          | AV           | MDD           | ASR          | CR           | IR           |
| LSTM        | 0.532        | 0.377        | 0.449        | -0.382        | 0.842        | 0.989        | 0.954        | 0.515        | 0.291        | <b>0.318</b> | -0.240        | 0.915        | 1.213        | 0.877        |
| GRU         | 0.530        | 0.362        | <b>0.445</b> | -0.379        | 0.813        | 0.955        | 0.934        | 0.517        | 0.312        | 0.320        | -0.243        | 0.975        | 1.284        | 0.932        |
| Transformer | 0.533        | 0.385        | 0.454        | -0.384        | 0.848        | 1.005        | 0.960        | 0.518        | 0.327        | 0.322        | -0.245        | 1.016        | 1.335        | 0.969        |
| eLSTM       | 0.534        | 0.434        | 0.454        | -0.373        | 0.955        | 1.163        | 1.041        | 0.520        | 0.330        | 0.323        | -0.239        | 1.022        | 1.381        | 0.991        |
| LSTM+GCN    | 0.538        | 0.470        | 0.442        | -0.354        | 1.062        | 1.326        | 1.103        | 0.523        | 0.351        | 0.320        | <b>-0.217</b> | 1.097        | 1.618        | 1.119        |
| LSTM+RGCN   | 0.565        | 0.558        | 0.463        | -0.366        | 1.205        | 1.522        | 1.203        | 0.536        | 0.509        | 0.326        | -0.235        | 1.561        | 2.166        | 1.537        |
| TGC         | 0.552        | 0.528        | 0.455        | <b>-0.344</b> | 1.163        | 1.535        | 1.180        | 0.531        | 0.453        | 0.323        | -0.224        | 1.402        | 2.022        | 1.412        |
| MAN-SF      | 0.551        | 0.527        | 0.467        | -0.357        | 1.130        | 1.478        | 1.157        | 0.527        | 0.418        | 0.334        | -0.225        | 1.251        | 1.858        | 1.282        |
| HATS        | 0.541        | 0.494        | 0.466        | -0.387        | 1.060        | 1.277        | 1.110        | 0.525        | 0.385        | 0.332        | -0.249        | 1.160        | 1.546        | 1.116        |
| REST        | 0.549        | 0.502        | 0.466        | -0.359        | 1.079        | 1.398        | 1.117        | 0.528        | 0.425        | 0.331        | -0.228        | 1.284        | 1.864        | 1.298        |
| AD-GAT      | 0.564        | 0.535        | 0.457        | -0.371        | 1.170        | 1.444        | 1.187        | 0.539        | 0.537        | 0.329        | -0.240        | 1.632        | 2.238        | 1.596        |
| THGNN       | <b>0.579</b> | <b>0.665</b> | 0.468        | -0.369        | <b>1.421</b> | <b>1.804</b> | <b>1.340</b> | <b>0.551</b> | <b>0.632</b> | 0.336        | -0.237        | <b>1.881</b> | <b>2.667</b> | <b>1.875</b> |

# Ограничения и комментарии

## Ограничения

- Статичный граф на весь период обучения
- Высокая вычислительная стоимость (Transformer + GAT)
- Предсказывает только направление изменения цены
- Требуется аккуратная калибровка типов рёбер

# Применение: гибрид LSTM-GNN для прогнозирования акций

## Модель и цель

Авторы предлагают гибридную модель, комбинирующую LSTM для временных рядов и GNN для графового анализа взаимосвязей между акциями.

## Источники данных

- Исторические временные ряды цен акций
- Expanding-window валидация: постепенное расширение обучающей выборки
- Граф корреляций между активами обновляется по мере роста окна

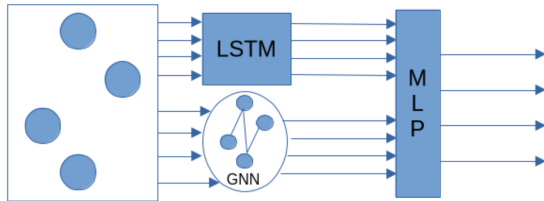
## Признаки

- Цена закрытия, открытие, максимум, минимум
- Объем торгов
- Корреляционные и ассоциативные связи между активами

# Архитектура LSTM-GNN

## Гибридная структура

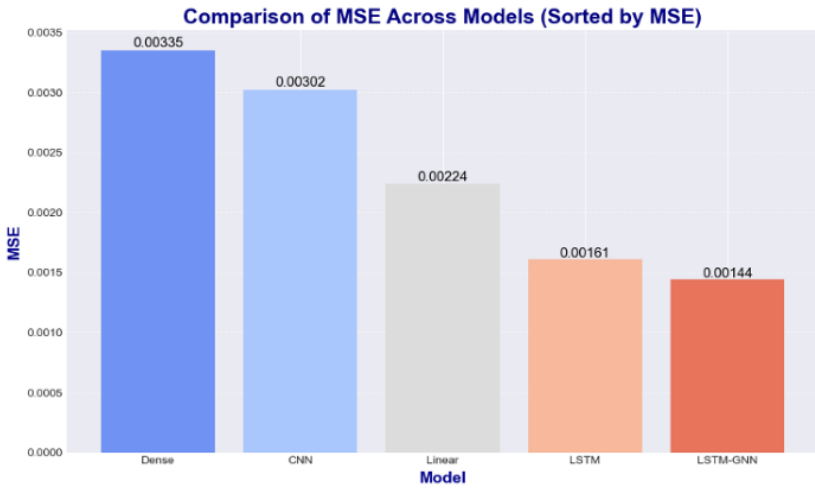
- **LSTM** – анализ временных рядов (цены, объемы)
- **GNN** – граф корреляций и ассоциативных связей между активами
- **Граф обновляется** по мере расширения обучающей выборки (expanding-window)
- Используется адаптивная перекалибровка модели



# Особенности модели

- LSTM эффективно извлекает временные зависимости
- GNN учитывает структуру рынка и корреляционные связи
- Граф динамически обновляется с увеличением данных
- Адаптивная перекалибровка повышает устойчивость модели
- Решает регрессионную задачу — предсказывает числовую цену, а не только направление

## Результаты



# Ограничения и комментарии

## Ограничения

- Значительные вычислительные ресурсы
- Чувствительность к выбору окна и порогов корреляции
- GNN может быть шумным в периоды турбулентности рынка
- Все модели сталкиваются с проблемой статичности графов и ограниченного учёта рыночных режимов

## Комментарии

- Интеграция LSTM и GNN повышает точность прогнозов цен
- Отличается от предыдущих работ тем, что решает регрессионную задачу
- Сравнение подходов показывает, что графовые модели стабильно улучшают прогноз благодаря учёту рыночной структуры

# Выводы

- **Графовые нейронные сети (GNN)** позволяют учитывать не только индивидуальные признаки агентов, но и **структуру взаимодействий** в экономических системах.
- **GraphSAGE** и **GAT** эффективны для агрегации соседних узлов и внимания к значимым связям.
- **Динамические GNN (TGN)** учитывают **временную значимость событий**.
- **Гибридные модели LSTM-GNN** объединяют:
  - **LSTM** — захват временных закономерностей каждого узла,
  - **GNN** — учет межузловых связей,
  - **MLP слои** — изучение сложных нелинейных взаимодействий.
- Гибридные модели позволяют улучшить точность прогнозирования финансовых временных рядов.

# Литература

- ① Sonani et al. *Stock Price Prediction Using a Hybrid LSTM-GNN Model: Integrating Time-Series and Graph-Based Analysis*, 2025.
- ② Kipf TN, Welling M. *Semi-supervised classification with graph convolutional networks*, 2017.
- ③ Veličković P, Cucurull G, Casanova A, Romero A, Lio P, Bengio Y. *Graph Attention Networks*, ICLR, 2018.
- ④ Hamilton WL, Ying R, Leskovec J. *Inductive Representation Learning on Large Graphs*, 2017.
- ⑤ Sheng Xiang, Dawei Cheng, Chencheng Shang, Ying Zhang, Yuqi Liang. *Temporal and Heterogeneous Graph Neural Network for Financial Time Series Prediction*, 2022.
- ⑥ Rossi E, Chamberlain B, Eynard D, et al. *Temporal Graph Networks for Deep Learning on Dynamic Graphs*, 2020.